

# Graphen und Algorithmen

---

Vorlesung #3: Kürzeste Wege

Dr. Armin Fügenschuh

Technische Universität Darmstadt

WS 2007/2008

# Übersicht

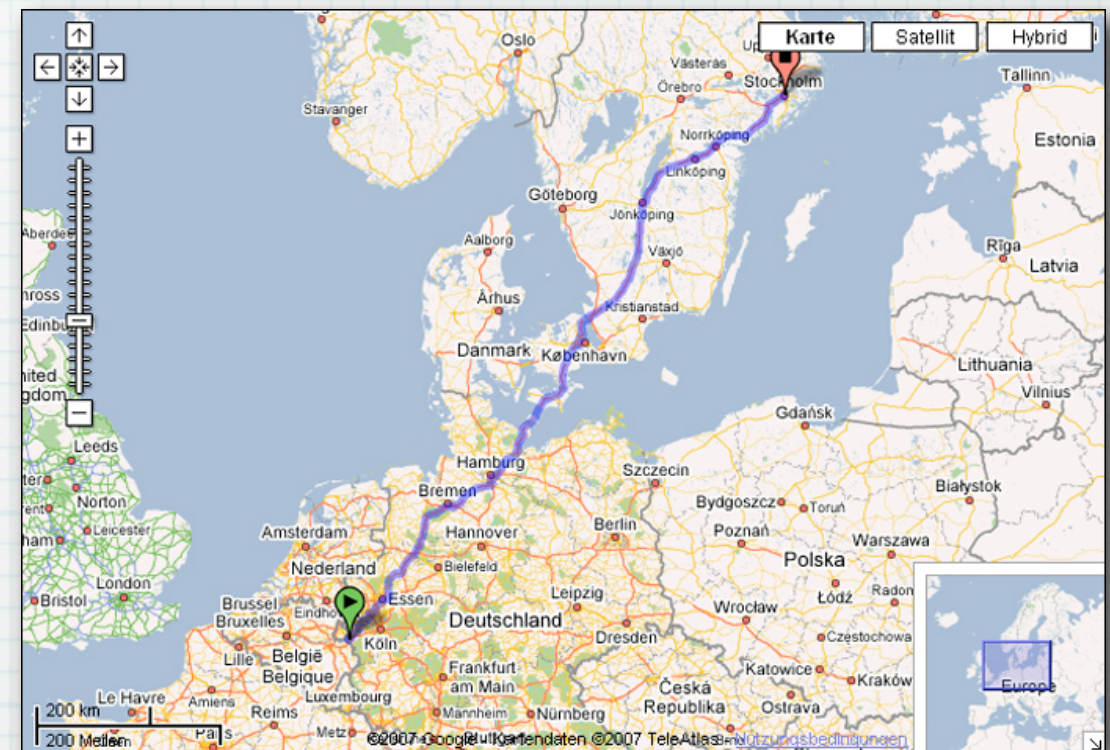
- \* Problemstellung
- \* Anwendungen
- \* Bellmans Optimalitätsbedingung und kürzeste Wege in azyklischen Digraphen
- \* Algorithmus von Dijkstra
- \* Algorithmus von Bellman–Ford
- \* Alle–Paare–Algorithmus von Floyd–Warshall
- \* Aufspannende Bäume und minimale Maximalkosten–Wege
- \* Steiner–Bäume

# Das Kürzeste-Wege-Problem

- \* **Definition 1:**  
Sei  $D = (V, A, c)$  ein bewerteter Digraph. Seien  $s, t \in V$  Knoten in  $D$ . Die Aufgabe, einen Weg von  $s$  nach  $t$  mit minimaler Länge zu finden, wird als **Problem des kürzesten Weg** bezeichnet.
- \* In dieser Allgemeinheit gestellt, ist das Problem schwer zu lösen. Daher beschränken wir uns auf Spezialfälle.
- \* **Definition 2:**  
Sei  $D = (V, A, c)$  ein bewerteter Digraph. Die Gewichte  $c$  heißen **konservativ**, falls es keinen Kreis mit negativem Gesamtgewicht gibt.
- \* Mit dieser Einschränkung wird das Problem zumindest für Digraphen einfach.
- \* Im Falle von ungerichteten Graphen beschränken wir uns zudem auf nicht-negative Gewichte.
- \* Besonders einfache (und schnelle) Algorithmen erhält man, wenn man weitere Einschränkungen ausnutzt, zum Beispiel für planare Graphen, oder Graphen, in denen alle Gewichte gleich sind.
- \* **Definition 3:**  
Sei  $D = (V, A, c)$  ein konservativ bewerteter Digraph bzw. ein nicht-negativ bewerteter Graph. Das **alle-Paare-Kürzeste-Wege-Problem** fragt nach der Berechnung von Matrizen  $(l_{i,j})_{i,j \in V}$  und  $(p_{i,j})_{i,j \in V}$ , wobei  $l_{i,j}$  die Länge eines kürzesten Weges von  $i$  nach  $j$  ist und  $p_{i,j}$  der letzte Knoten vor  $j$  auf einem solchen kürzesten Weg ist (falls er existiert).

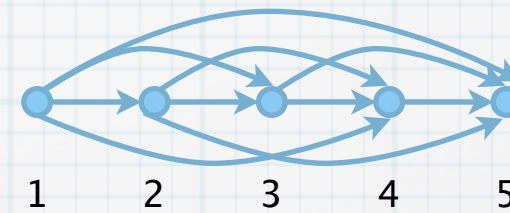
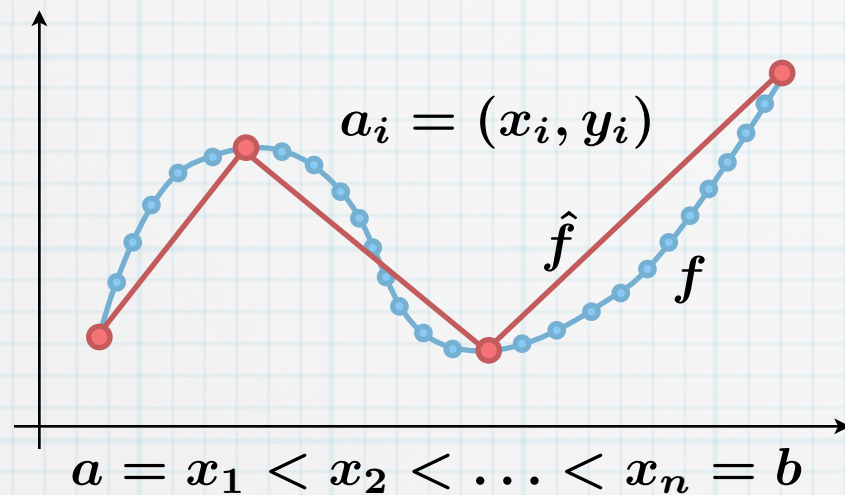
# Anwendungen (I)

- \* Routenplanung im Straßenverkehr
- \* Digraph  $D = (V, A, c)$  repräsentiert das Verkehrsnetz
  - \* Knoten sind Kreuzungen, Einmündungen
  - \* Bögen sind Straßen
  - \* Gewichte sind z.B. Fahrzeiten, Entfernungen oder Kosten (Maut)
- \* Praktische Herausforderungen:
  - \* Ein Internet-Dienst (wie z.B. GoogleMaps, Map24, Michelin) bekommt pro Sekunde ca. 1000 Anfragen.
  - \* Der Nutzer erwartet eine Antwort praktisch „sofort“ ( $< 1$  Sekunde).
  - \* Der europäische Straßengraph besteht aus ca. 10 Mio. Knoten und 40 Mio. Bögen.



# Anwendungen (2)

- \* Approximation stückweise linearer Funktionen (Imai u. Iri, 1986).
- \* Gegeben sei eine stetige Funktion  $f : [a, b] \rightarrow \mathbb{R}$  in Form einer Wertetabelle. Zwischen zwei benachbarten Werten der Tabelle wird eine lineare Interpolation angenommen.
- \* Gesucht ist eine stückweise lineare Funktion  $\hat{f} : [a, b] \rightarrow \mathbb{R}$ , welche  $f$  möglichst gut approximiert, aber mit einer wesentlich kleineren Wertetabelle auskommt.
- \* Beispiel:



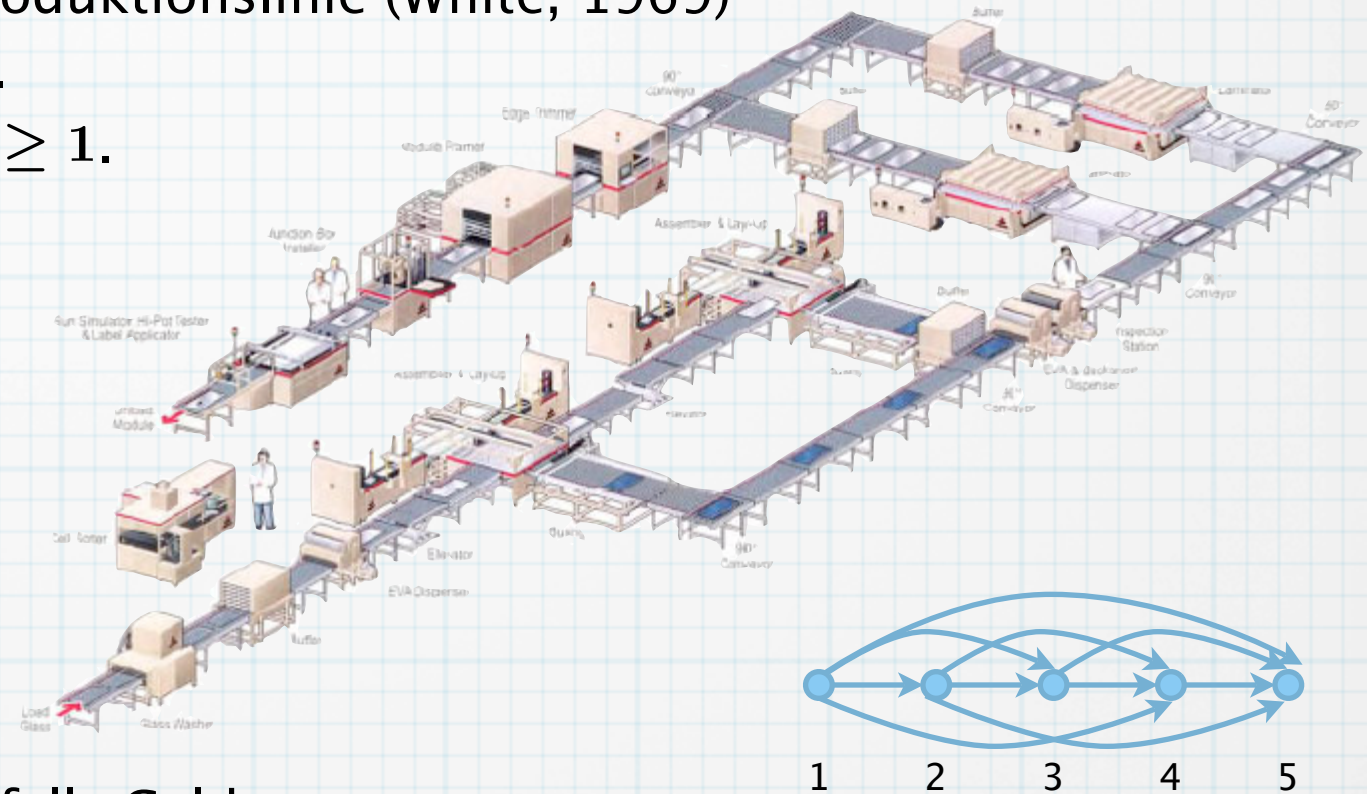
- \* Gewichteter Digraphen  $D = (V, A, c)$ , wobei  $V = \{1, \dots, n\}$  und  $A = \{(i, j) : i < j\}$ .
- \* Wähle Konstanten  $\alpha, \beta > 0$  ( $\alpha$  sind Kosten für das Segment und  $\beta$  sind Kosten für den Approximationsfehler) und definiere Gewichte

$$c_{i,j} := \alpha + \beta \left( \sum_{k=i}^j (f(x_k) - \hat{f}(x_k))^2 \right)$$

- \* Kürzester Weg von  $a$  nach  $b$  in  $D$  ist gesuchte Approximation.

# Anwendungen (3)

- \* Planung von Inspektionen entlang einer Produktionslinie (White, 1969)
- \*  $n$  Fertigungsstationen innerhalb der Linie.
- \* Fertigung in Losen (batches) der Größe  $B \geq 1$ .
- \* Wahrscheinlichkeit für Produktionsfehler in Station  $i$  sei  $\alpha_i$ ; Fehler können nicht behoben werden.
- \* Nach jeder Station kann eine Prüfung des gesamten Loses erfolgen; die Prüfung erkennt fehlerhafte Teile.
- \* Am Ende der Linie erfolgt grundsätzlich eine Prüfung aller Teile.
- \* Problem: jede Prüfstation kostet Geld, Restfertigung von Schadteilen kostet ebenfalls Geld.
- \* Ziel: Finde das optimale Verhältnis (trade-off) zwischen diesen beiden Kostenfaktoren.
- \* Gegebene Größen: Herstellungskosten  $p_i$  pro Stück in Station  $i$ .
- \* Inspektionskosten  $f_{i,j}$  pro Los nach Station  $j$ , falls zuletzt nach Station  $i$  inspiziert wurde.
- \* Inspektionskosten  $g_{i,j}$  pro Stück nach Station  $j$ , falls zuletzt nach Station  $i$  inspiziert wurde.
- \* Gewichteter Digraphen  $D = (V, A, c)$ , wobei  $V = \{0, 1, \dots, n\}$  und  $A = \{(i, j) : i < j\}$ .
- \* Sei  $B_i$  die Anzahl heiler Teile im Los nach Station  $i$ , d.h.  $B_i := B \cdot \prod_{k=1}^i (1 - \alpha_k)$ .
- \* Ein kürzester Weg von 0 nach  $n$  bzgl. der Bogenkosten  $c_{i,j}$  definiert eine optimale Verteilung von Inspektionsstellen, wobei



$$c_{i,j} := f_{i,j} + B_i \cdot \left( g_{i,j} + \sum_{k=i+1}^j p_k \right).$$

# Bellmans Optimalitätskriterium

## \* Satz 3:

Sei  $D = (V, A, c)$  ein konservativ bewerteter Digraph. Seien  $s, t \in V$  Knoten in  $D$ . Sei  $P := (a_1, \dots, a_{n-1}, a_n)$  ein kürzester Weg von  $s$  nach  $t$ , und sei  $a_n = (u, t)$  der letzter Bogen in diesem Weg. Dann ist  $P' := (a_1, \dots, a_{n-1})$  ein kürzester Weg von  $s$  nach  $u$ .

## \* Beweis:

Angenommen,  $Q' := (b_1, \dots, b_m)$  ist ein kürzerer Weg als  $P'$  von  $s$  nach  $u$ .

Dann gilt  $c(Q') + c_{a_n} < c(P)$ .

1. Fall,  $t$  ist nicht in  $Q'$  enthalten.

Dann ist  $(b_1, \dots, b_m, a_n)$  ein kürzerer Weg von  $s$  nach  $t$  (im Vergleich zu  $P$ ).

Widerspruch zur Voraussetzung, dass  $P$  ein kürzester Weg ist.

2. Fall,  $t$  ist in  $Q'$  enthalten.

Sei  $b_k$  der Bogen von  $Q'$  mit Endknoten  $t$ .

Teile  $Q'$  in Wege  $R := (b_1, \dots, b_k)$  von  $s$  nach  $t$ , und  $S := (b_k, \dots, b_m)$  von  $t$  nach  $u$ .

Definiere  $K := (b_k, \dots, b_m, a_n)$ , so ist  $K$  ein Kreis.

Es gilt  $c(K) \geq 0$ , da der Digraph  $D$  konservativ ist.

Also gilt:  $c(R) = c(Q') + c_{a_n} - c(K) < c(P) - c(K) \leq c(P)$ .

Ebenso im Widerspruch zur Voraussetzung, dass  $P$  ein kürzester Weg ist.

## \* Folgerung 4:

Gegeben sei ein bewerteter azyklischer Digraph  $D = (V, A, c)$  sowie ein Knoten  $s \in V$ .

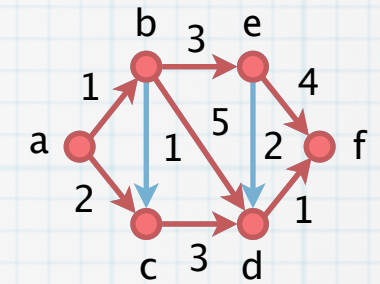
Wir definieren rekursiv die Funktion  $dist : V \times V \rightarrow \mathbb{R}$  durch  $dist(s, s) := 0$  und  $dist(s, w) := \min\{dist(s, v) + c_{v,w} : (v, w) \in A\}$  für alle  $w \in V \setminus \{s\}$ .

Dann liefert  $dist$  den Abstand eines jeden Knoten des Digraphen von  $s$ .

## \* Bemerkung: Nach einer topologischen Sortierung erfolgt die Berechnung von $dist$ in $O(|A|)$ .

# Kürzeste-Wege-Algorithmus von Dijkstra

- \* Eingabe: gewichteter Graph  $D = (V, A, c)$  mit  $c_{i,j} \geq 0 \forall (i, j) \in A$ , Startknoten  $s \in V$ .
- \* Ausgabe: Funktionen  $l : V \rightarrow \mathbb{R} \cup \{\infty\}$ ,  $p : V \rightarrow V$ , wobei  $l(v)$  die Länge eines kürzesten  $s$ - $v$ -Weges und  $p(v)$  der Vorgängerknoten von  $v$  auf diesem Weg ist.



$$D = (V, A, c)$$

$$s = a$$

## (1) algorithm dijkstra

(2)  $l(s) := 0, l(v) := +\infty \forall v \in V \setminus \{s\}, R := \emptyset$

(3) **repeat**

(4)  $v := \arg \min \{l(w) : w \in V \setminus R\}$

(5)  $R := R \cup \{v\}$

(6) **for alle**  $w \in V \setminus R$  mit  $(v, w) \in A$  **do**

(7) **if**  $l(w) > l(v) + c_{v,w}$  **then**

(8)  $l(w) := l(v) + c_{v,w}$

(9)  $p(w) := v$

(10) **end if**

(11) **end for**

(12) **until**  $R = V$

(13) **end algorithm**

$$v = a$$

$$R = \{ \}$$

$$w = b$$

$$l(b) = \infty > l(a) + c_{a,b} = 0 + 1 = 1$$

$v$	$a$	$b$	$c$	$d$	$e$	$f$
$l(v)$						

$v$	$a$	$b$	$c$	$d$	$e$	$f$
$p(v)$						

# Korrektheit von Dijkstras Algorithmus (1)

\* **Satz 5:**

Wenn in Dijkstras Algorithmus für einen Knoten  $v \in V$  in einer beliebigen Iteration der Wert  $l(v)$  endlich ist, dann gibt es einen Weg von  $s$  nach  $v$ , dessen Länge  $l(v)$  ist.

\* **Beweis:**

Für  $v = s$  ist  $l(s) = 0$ , also ist die Aussage trivial.

Sei nun  $v \neq s$ .

Da  $l(v)$  endlich, gibt es einen Knoten  $u_1$  mit  $(u_1, v) \in A$ ,  $l(u_1) < \infty$  und  $l(v) = l(u_1) + c_{u_1, v}$  (Schritt 8).

$u_1$  ist dann in  $R$  (Schritt 5), und  $l(u_1)$  ändert sich auch im weiteren Verlauf nicht mehr.

Da  $l(u_1)$  endlich, gibt es einen Knoten  $u_2$  mit  $(u_2, u_1) \in A$  und  $l(u_1) = l(u_2) + c_{u_2, u_1}$ .

Dieses wiederholen wir so oft, bis wir bei  $s$  angekommen sind.

Auf diese Weise erhalten wir einen Weg von  $s$  nach  $v$  der Länge  $l(v)$ , denn:

$$\begin{aligned} l(v) &= l(u_1) + c_{u_1, v} \\ &= l(u_2) + c_{u_2, u_1} + c_{u_1, v} \\ &= \dots \\ &= c_{s, u_n} + c_{u_n, u_{n-1}} + \dots + c_{u_2, u_1} + c_{u_1, v} \end{aligned}$$

D.h.,  $l(v)$  ist genau die Summe der Bögen, also die Länge des Weges von  $s$  nach  $v$ .

Dieses ist tatsächlich ein Weg (keine Wiederholung von Knoten), da  $u_1$  nach  $u_2$ ,  $u_2$  nach  $u_3$  usw. zu  $R$  hinzugefügt wurde.

# Korrektheit von Dijkstras Algorithmus (2)

\* **Satz 6:**

Wenn ein Knoten  $v$  in Dijkstras Algorithmus in Schritt (4) gewählt wird, dann ist  $l(v)$  die Länge  $dist(s, v)$  eines kürzesten Weges von  $s$  nach  $v$ .

\* **Beweis:**

Klar ist (nach Satz 5):  $l(v)$  ist eine obere Schranke auf die Länge,  $l(v) \geq dist(s, v)$ .

Zeigen per Induktion über die Anzahl der Elemente in  $R$ , dass  $l(v)$  genau diese Länge ist.

Am Anfang ist diese Aussage trivial,  $l(s) = 0$ .

Angenommen, wir wählen ein  $u$  in Schritt (4), und für alle vorher gewählten Knoten ist die Aussage richtig.

1. Fall,  $l(u) = \infty$ .

Da  $l(s)$  endlich, muss es einen vorher gewählten Knoten  $u' \neq s$  mit  $l(u') = \infty$  geben.

Sei  $u'$  zudem der erste derartige Knoten.

Dann gilt wg. Schritt (8) für alle weiteren Knoten  $v \in V \setminus R$  ebenso  $l(v) = \infty$ .

Alle in Schritt (4) vorher gewählten Knoten  $v' \in R \setminus \{u'\}$  haben ein endliches  $l(v')$ .

Also gibt es keine Kante von einem  $v'$  mit  $l(v') < \infty$  zu einem  $v$  mit  $l(v) = \infty$ , da sonst  $l(v) = \min\{l(v), l(v') + c_{v',v}\} < \infty$  wäre, was ein Widerspruch ist.

Also gibt es keinen Weg von  $s$  nach  $u$ , und die Setzung  $l(u) = \infty$  ist korrekt.

# Korrektheit von Dijkstras Algorithmus (3)

\* **Satz 6:**

Wenn ein Knoten  $v$  in Dijkstras Algorithmus in Schritt (4) gewählt wird, dann ist  $l(v)$  die Länge  $dist(s, v)$  eines kürzesten Weges von  $s$  nach  $v$ .

\* **Beweis:**

2. Fall,  $l(u) < \infty$ .

Es gibt (nach Satz 5) einen Weg mit Länge  $l(u)$ . Also ist  $l(u) \geq dist(s, u)$ .

Angenommen, es gibt einen kürzeren Weg  $s = v_0, v_1, \dots, v_k = u$ .

Dessen Länge ist dann  $c_{v_0, v_1} + \dots + c_{v_{k-1}, v_k} = dist(s, u)$ .

Sei  $v_j$  der letzte Knoten auf diesem Weg, der vor  $u$  in Schritt (4) gewählt wurde.

Nach Induktionsvoraussetzung gilt  $l(v_j) = dist(s, v_j) = c_{v_0, v_1} + \dots + c_{v_{j-1}, v_j}$ .

1. Fall,  $v_{j+1} \neq u (= v_k)$ .

Nachdem  $l(v_j)$  den endgültigen Wert bekommen hat, ist  $l(v_{j+1}) \leq l(v_j) + c_{v_j, v_{j+1}}$ .

Diese Beziehung gilt auch, nachdem  $l(u)$  den endgültigen Wert hat. Also:

$$l(v_{j+1}) \leq l(v_j) + c_{v_j, v_{j+1}} = dist(s, v_j) + c_{v_j, v_{j+1}} \leq dist(s, u) < l(u).$$

Es ist also  $l(v_{j+1}) < l(u)$ , aber  $u$  wurde nach Annahme vor  $v_{j+1}$  in Schritt (4) gewählt, was ein Widerspruch ist.

2. Fall,  $v_{j+1} = u$ .

Wie zuvor gilt, sobald  $l(v_j)$  den endgültigen Wert hat:

$$l(u) = l(v_{j+1}) \leq l(v_j) + c_{v_j, v_{j+1}} = dist(s, v_j) + c_{v_j, v_{j+1}} = dist(s, u).$$

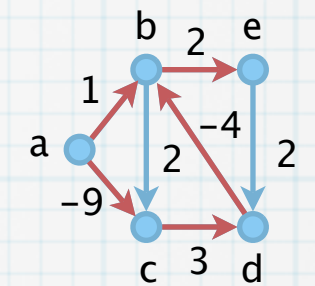
Zusammen gilt  $l(u) = dist(s, u)$ .

# Laufzeit von Dijkstras Algorithmus

- \* **Satz 7:**  
Der Algorithmus von Dijkstra hat eine Laufzeit in  $O(|V|^2)$ .
- \* **Beweis:**  
Die Knotenwahl in Schritt (4) wird  $|V|$  mal durchgeführt, und es werden dabei alle Knoten in  $V \setminus R$  geprüft.  $V \setminus R$  wird in jedem Schritt ein Element kleiner.  
Damit ist die Komplexität  $|V| + (|V| - 1) + (|V| - 2) + \dots + 1 = O(|V|^2)$ .  
Die for-Schleife in den Schritten (6)–(11) wird  $\deg_{out}(v)$  oft durchlaufen für Knoten  $v$ .  
Damit ist die Komplexität  $\sum_{v \in V} \deg_{out}(v) = |A|$ .  
Da  $|A| \leq |V|^2$ , ist die Komplexität damit  $O(|V|^2)$ .
- \* **Bemerkung:** Dijkstras Algorithmus funktioniert genauso für Graphen.

# Der Shimbel- (Moore-Bellman-Ford)-Algorithmus

- \* Eingabe: konservativ-gewichteter Digraph  $D = (V, A, c)$ , Startknoten  $s \in V$ .
- \* Ausgabe: Funktionen  $l : V \rightarrow \mathbb{R} \cup \{\infty\}$ ,  $p : V \rightarrow V$ , wobei  $l(v)$  die Länge eines kürzesten  $s$ - $v$ -Weges und  $p(v)$  der Vorgängerknoten von  $v$  auf diesem Weg ist.



$D = (V, A, c)$   
 $s = a$

- (1) **algorithm** mooreBellmanFord
- (2)  $l(s) := 0, l(v) := +\infty \forall v \in V \setminus \{s\}$
- (3) **for**  $i$  **from** 1 **to**  $|V| - 1$  **do**
- (4)     **for** alle Bögen  $(v, w) \in A$  **do**
- (5)         **if**  $l(w) > l(v) + c_{v,w}$  **then**
- (6)              $l(w) := l(v) + c_{v,w}$
- (7)              $p(w) := v$
- (8)         **end if**
- (9)     **end for**
- (10) **end for**
- (11) **end algorithm**

$$i = 1$$

$$(a, b)$$

$$l(b) = \infty > l(a) + c_{a,b} = 0 + 1 = 1$$

$v$	$a$	$b$	$c$	$d$	$e$
$l(v)$					

$v$	$a$	$b$	$c$	$d$	$e$
$p(v)$					

# Laufzeit und Korrektheit von Moore-Bellman-Ford

- \* **Satz 8:**

Der Algorithmus von Moore-Bellman-Ford arbeitet korrekt. Seine Laufzeit ist in  $O(|V| \cdot |A|)$ .

- \* Beweis:

- \* Aussage über Laufzeit ist klar, da (3)  $|V|$  Mal und (4)  $|A|$  Mal durchlaufen wird.

- \* Sei  $u \in V$ . Wir zeigen, dass der Algorithmus einen kürzesten Weg von  $s$  nach  $u$  berechnet.

Sei  $P = (v_0, v_1, \dots, v_k)$  die Knotensequenz eines solchen Weges.

Da die Gewichte des Graphen konservativ sind, ist  $P$  ein einfacher Weg, d.h.  $k \leq |V| - 1$ .

Zeige nun per Induktion, dass nach der  $i$ -ten Iteration von (3) ein kürzester Weg bis  $v_i$  berechnet ist (dies kann  $P$  sein, muss es aber nicht).

Induktionsanfang: für  $v_0 = s$  ist dies sicher richtig.

Angenommen nun, die Aussage gilt für  $i - 1$ . Dann hat der Algorithmus einen kürzesten Weg bis  $v_{i-1}$  der Länge  $l(v_{i-1})$  berechnet.

Dann gilt nach der  $i$ -ten Iteration:  $l(v_i) \leq l(v_{i-1}) + c_{v_{i-1}, v_i}$ .

Da  $l(v_{i-1})$  die Länge eines kürzesten Weges nach  $v_{i-1}$  ist, und  $c_{v_{i-1}, v_i}$  die kürzeste Verbindung von  $v_{i-1}$  nach  $v_i$  (da in  $P$ , einem kürzesten Weg), ist  $l(v_i) < l(v_{i-1}) + c_{v_{i-1}, v_i}$  nicht möglich.

Also ist  $l(v_i) = l(v_{i-1}) + c_{v_{i-1}, v_i}$  damit die Länge eines kürzesten Weges nach  $v_i$ .

# Wie man negative Kreise findet

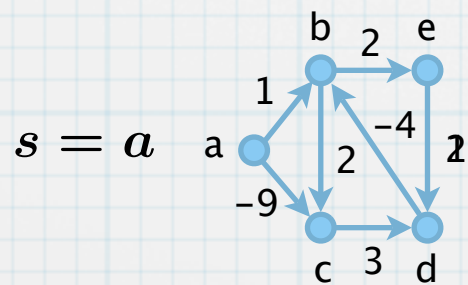
- \* Eingabe: gewichteter Digraph  $D = (V, A, c)$ , Startknoten  $s \in V$ , Funktion  $l : V \rightarrow \mathbb{R} \cup \{\infty\}$  aus Moore-Bellman-Ford-Algorithmus.
- \* Ausgabe: Meldung, dass negativer Kreis von  $s$  aus erreichbar oder Meldung, dass kein solcher Kreis existiert.

## (1) algorithm negativeCycle

- (2) for alle Bögen  $(v, w) \in A$  do
- (3) if  $l(w) > l(v) + c_{v,w}$  then
- (4) Meldung: „negativer Kreis“
- (5) goto (9)
- (6) end if
- (7) end for
- (8) Meldung: „kein negativer Kreis“
- (9) end algorithm

$$l(b) = -11 > l(a) + c_{a,b} = 0 + 1 = 1$$

negativer Kreis



$$D = (V, A, c)$$

$v$	$a$	$b$	$c$	$d$	$e$
$l(v)$	0	-10	-9	-6	-8

# Korrektheitsbeweis

- \* **Satz 9:**

Der Algorithmus `negativeCycle` arbeitet korrekt. Seine Laufzeit ist in  $O(|A|)$ .

- \* **Beweis:**

Angenommen, der Algorithmus arbeitet nicht korrekt.

Dann gibt es einen negativen, von  $s$  aus erreichbaren Kreis, aber der Algorithmus gibt die Meldung „kein Kreis gefunden“ aus.

Sei  $C := \{v_0, v_1, \dots, v_k\}$  ein solcher Kreis. Dann gilt  $\sum_{i=1}^k c_{v_{i-1}, v_i} < 0$ .

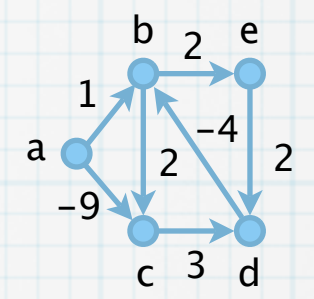
Da `negativeCycle` keinen negativen Kreis gefunden hat, gilt  $l(v_i) \leq l(v_{i-1}) + c_{v_{i-1}, v_i}$  für alle  $i = 1, \dots, k$ .

Summiert man diese auf, so erhält man  $\sum_{i=1}^k l(v_i) \leq \sum_{i=1}^k l(v_{i-1}) + \sum_{i=1}^k c_{v_{i-1}, v_i}$ .

Es folgt  $0 \leq \sum_{i=1}^k c_{v_{i-1}, v_i}$ . Widerspruch!

# Alle-Paare-Kürzeste-Wege-Algorithmus von Floyd-Warshall

- \* Eingabe: konservativ-gewichteter Digraph  $D = (V, A, c)$
- \* Ausgabe: Matrizen  $(l_{i,j})_{i,j \in V}$  und  $(p_{i,j})_{i,j \in V}$ , wobei  $l_{i,j}$  die Länge eines kürzesten Weges von  $i$  nach  $j$  ist und  $p_{i,j}$  der letzte Knoten vor  $j$  auf einem solchen kürzesten Weg ist.



$D = (V, A, c)$

## (1) algorithm floydWarshall

- (2)  $l_{i,j} := c_{i,j} \quad \forall (i, j) \in A$
- (3)  $l_{i,j} := +\infty \quad \forall (i, j) \in V \times V \setminus A, i \neq j$
- (4)  $l_{i,i} := 0 \quad \forall i \in V$
- (5)  $p_{i,j} := i \quad \forall (i, j) \in A$
- (6) **for** alle Knoten  $k \in V$  **do**
- (7)     **for** alle Knoten  $i \in V \setminus \{k\}$  **do**
- (8)         **for** alle Knoten  $j \in V \setminus \{i, k\}$  **do**
- (9)             **if**  $l_{i,j} > l_{i,k} + l_{k,j}$  **then**
- (10)                  $l_{i,j} := l_{i,k} + l_{k,j}$
- (11)                  $p_{i,j} := p_{k,j}$
- (12)             **end if**
- (13)         **end for**
- (14)     **end for**
- (15) **end for**
- (16) **end algorithm**

$k = a$   
 $i = b$   
 $j = c$

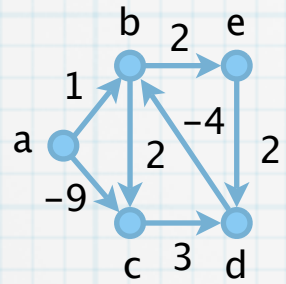
$$l_{b,c} = 2 > l_{b,a} + l_{a,c} = \infty - 9 = \infty$$

$l_{i,j}$	a	b	c	d	e
a					
b					
c					
d					
e					

$p_{i,j}$	a	b	c	d	e
a					
b					
c					
d					
e					

# Ausgabe des Floyd-Warshall-Algorithmus

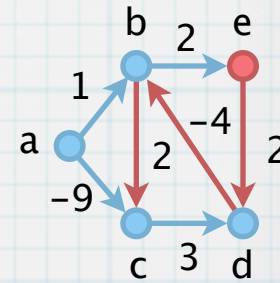
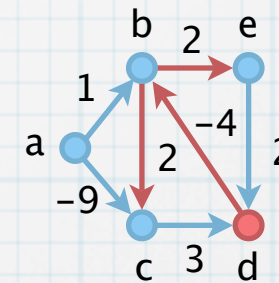
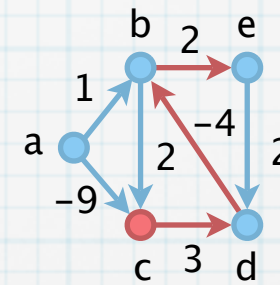
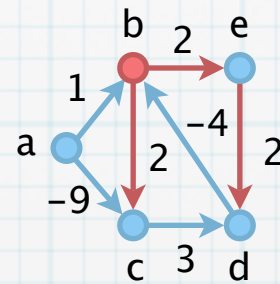
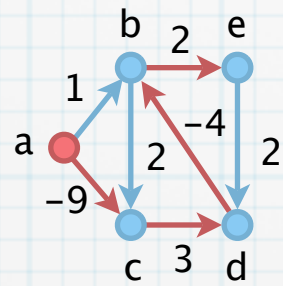
- \* Jede Zeile der Matrix  $(p_{i,j})_{i,j \in V}$  beschreibt einen kürzeste-Wege-Baum.



$$D = (V, A, c)$$

$p_{i,j}$	a	b	c	d	e
a		d	a	c	b
b			b	e	b
c		d		c	b
d		d	b		b
e		d	b	e	

$l_{i,j}$	a	b	c	d	e
a	0	-10	-9	-6	-8
b	$\infty$	0	2	4	2
c	$\infty$	-1	0	3	1
d	$\infty$	-4	-2	0	-2
e	$\infty$	-2	0	2	0



# Korrektheitsbeweis zu Floyd-Warshall

- \* **Satz 10:**

Der Algorithmus von Floyd-Warshall arbeitet korrekt. Seine Laufzeit ist in  $O(|V|^3)$ .

- \* Beweis:

- \* Komplexitätsaussage klar, da in (6), (7), (8) jeweils eine for-Schleife mit  $O(|V|)$  Schritten ausgeführt wird, und diese Schleifen ineinander geschachtelt sind.

- \* Per Induktion zeigen wir: nach Iteration  $k$  von Schleife (6) enthält  $(l_{i,j})_{i,j \in V}$  die Längen von kürzesten  $i$ - $j$ -Wegen mit Zwischenknoten  $v \in \{1, \dots, k\}$  und  $(p_{i,j})_{i,j \in V}$  enthält die jeweils letzten Knoten vor  $j$  auf einem solchen Weg. (O.B.d.A. sei  $V = \{1, \dots, n\}$ .)

Für  $k = 0$  (vor dem ersten Schleifendurchlauf) stimmt die Aussage; für  $k = n$  folgt die Korrektheit des Algorithmus. Sei die Aussage wahr für  $k - 1$ .

Während des  $k$ -ten Durchlaufs von Schleife (6) wird  $l_{i,j}$  durch  $l_{i,k} + l_{k,j}$  ersetzt, wenn letzteres kleiner ist.

$l_{i,k}$  ist Länge eines kürzesten  $i$ - $k$ -Weges  $P$  und  $l_{k,j}$  ist Länge eines kürzesten  $k$ - $j$ -Weges  $Q$  über die Zwischenknoten  $1, \dots, k - 1$ .

Zu zeigen bleibt: diese beiden Wege  $P, Q$  haben keine gemeinsamen Knoten (außer  $k$ ).

Angenommen, es gibt einen solchen Zwischenknoten  $v$ . Betrachte den  $i$ - $j$ -Weg über  $v$ .

Dieser hat nur Zwischenknoten  $1, \dots, k - 1$ , aber (da die Gewichte konservativ) eine Länge von höchstens  $l_{i,k} + l_{k,j}$ , und ist insbesondere kürzer als  $l_{i,j}$  nach der  $k - 1$  Iteration.

Widerspruch zur Induktionsannahme.

# Das alle-Paare minimax Wege Problem in Graphen

## \* **Definition 11:**

Sei  $G = (V, E, c)$  ein bewerteter Graph. Im **alle-Paare minimax Wege Problem** ist der Wert eines Weges  $P$  zwischen Knoten  $i$  und  $j$  definiert als der Wert der teuersten Kante in  $P$  (Maximalkosten). Gesucht ist für alle Knotenpaare  $i, j$  ein Weg mit minimalen Maximalkosten.

## \* Anwendungen:

- \* Routenplanung für Rollstuhlfahrer (minimiere die maximale Steigung).
- \* Reise durch die Wüste (minimiere den maximalen Weg zwischen zwei Wasserstellen).
- \* Wiedereintritt einer Weltraumkapsel in die Erdatmosphäre (minimiere die maximale Temp.).

## \* **Satz 12:**

Die eindeutigen Pfade zwischen allen Knotenpaaren  $i, j$  in einem minimalen Spannbaum  $T$  für  $G$  sind minimax Wege.

## \* Beweis:

Sei  $P$  der eindeutige  $i$ - $j$ -Weg in  $T$  und  $\{p, q\}$  die Kante mit maximalen Kosten  $c_{p,q}$  in  $P$ . Löscht man die Kante  $\{p, q\}$  in  $T$ , so wird ein Fundamentalschnitt  $p \in V_1, q \in V_2$  definiert. Dieser Schnitt hat nach der Schnitt-Optimalitätsbedingung (VL2, Satz 18) die Eigenschaft, dass Kante  $\{p, q\}$  die billigste Kante ist, also  $c_{p,q} \leq c_{s,t}$  für alle  $s \in V_1, t \in V_2$ .

Betrachte einen beliebigen  $i$ - $j$ -Weg  $P'$  in  $G$ . Dieser Weg muss eine Kante aus dem Fundamentalschnitt  $V_1, V_2$  enthalten.

Also ist der Wert von  $P'$  mindestens  $c_{p,q}$ .

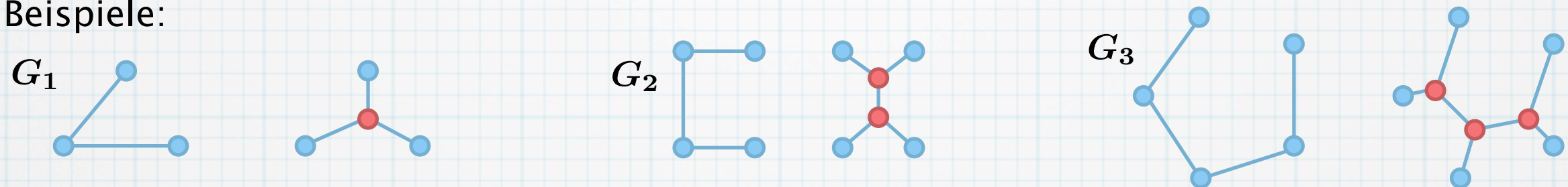
Da der Wert genau  $c_{p,q}$  für Weg  $P$  ist, ist letzterer also ein optimaler minimax-Weg.

# Euklidische Steinerbäume und Steinerbäume in Graphen

\* **Definition 13:**

Gegeben seien  $n$  Punkte in der Ebene (mit dem euklidischen Abstand). Das Problem, diese Punkte zu einem Netz minimaler Gesamtlänge zu verbinden, wobei zusätzlich beliebig viele weitere Punkte (**Steinerpunkte** genannt) eingeführt werden dürfen, wird als **euklidisches Steinerbaum-Problem** bezeichnet.

\* Beispiele:



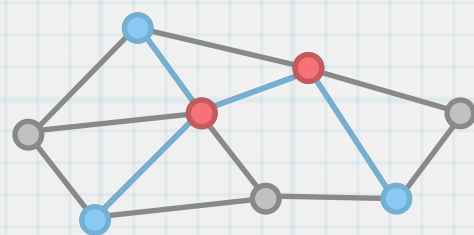
\* Steinerbaum-Verhältnis:  $\varrho = \text{Gesamtlänge Steinerbaum} / \text{Gesamtlänge min. Spannbaum}$

\* Satz von Du und Hwang (1990):  $\varrho \geq \sqrt{3}/2 \approx 0,86..$

\* **Definition 14:**

Gegeben sei ein bewerteter Graph  $G = (V, E, c)$  mit positiven Kantengewichten. Sei  $V = R \cup S, R \cap S = \emptyset$ . Beim **Graphen-Steinerbaum-Problem** ist eine Teilmenge  $S' \subseteq S$  gesucht, so dass der minimale aufspannende Baum auf dem induzierten Untergraphen  $G|(R \cup S')$  minimales Gewicht hat. Die Knoten in  $S'$  heißen **Steinerknoten**.

\* Beispiel:



$G = (V, E)$

$R = \bullet$   
 $S' = \bullet$   
 $S \setminus S' = \bullet$

\* Spezialfälle: Für  $S = \emptyset$  ist der Steinerbaum ein minimaler aufspannender Baum.

\* Für  $|R| = 2$  ist der Steinerbaum ein kürzester Weg zwischen den beiden Knoten von  $R$ .

# Abschätzung für die Anzahl der Steinerpunkte

\* **Definition 15:**

Ein **metrischer Graph** ist ein bewerteter Graph  $G = (V, E, c)$  mit positiven Gewichten, die der **Dreiecksungleichung** genügen, d.h. für alle Knoten  $i, j, k \in V$  mit  $\{i, j\}, \{i, k\}, \{k, j\} \in E$  gilt  $c_{i,j} \leq c_{i,k} + c_{k,j}$ .

\* **Satz 16:**

Sei  $G = (V, E, c)$  ein vollständiger metrischer Graph und  $V = R \cup S, R \cap S = \emptyset$ . Dann gibt es einen Steinerbaum  $T$  für  $G$ , der höchstens  $|R| - 2$  Steinerknoten enthält (also  $|S'| \leq |R| - 2$ ).

\* **Beweis:**

Sei  $x$  bzw.  $y$  der durchschnittliche Grad eines Knotens in  $R$  bzw.  $S'$ .

Trivialerweise ist  $x \geq 1$ .

Jeder Steinerknoten in  $S'$  liegt auf mindestens drei Kanten, da der Graph vollständig und metrisch ist. Also  $y \geq 3$ .

Für die Anzahl Kanten in  $T$  gilt  $|R| + |S'| - 1 = \frac{1}{2}(|R| \cdot x + |S'| \cdot y) \geq \frac{1}{2}(|R| + 3 \cdot |S'|)$ .

\* **Satz 17:**

Sei  $G = (V, E, c)$  ein bewerteter Graph mit positiven Gewichten. Sei  $(d_{i,j})_{i,j \in V}$  die Matrix der Längen der kürzesten Wege. Sei  $V = R \cup S, R \cap S = \emptyset$ . Dann ist das Gewicht eines Steinerbaums  $T'$  in  $(K_V, d)$  gleich dem Gewicht eines Steinerbaums  $T$  in  $G$ .

\* **Beweis:**

Da  $c_{i,j} \geq d_{i,j}$ , gilt  $c(T) \geq d(T')$ .

Umgekehrt: ersetzt man in  $T'$  jede Kante  $\{i, j\}$  durch die Kanten eines kürzesten  $i$ - $j$ -Weges in  $G$ , so erhält man einen Steinerbaum  $T''$  gleichen Gewichts für  $G$ .

Kantendopplungen und Kreise können dabei nicht auftreten: ließe man solche Kanten weg, würde man einen Steinerbaum mit  $c(T'') < d(T')$  erhalten, Widerspruch.

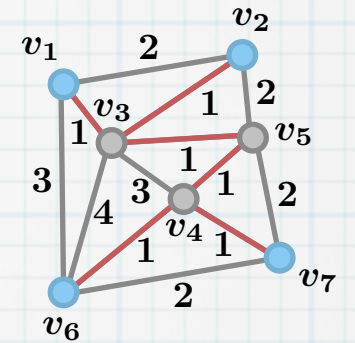
Also gilt  $c(T) \geq d(T') = c(T'')$ , und da  $c(T) = c(T'')$ , folgt  $c(T) = d(T')$ .

# Lawlers Algorithmus für Steinerbäume in Graphen

- \* Eingabe: gewichteter Graph  $G = (V, E, c)$  mit  $c_{i,j} > 0 \forall \{i, j\} \in E$ , Aufteilung der Knotenmenge  $V = R \cup S, R \cap S = \emptyset$ .
- \* Ausgabe: minimaler Steinerbaum  $T$  für  $R$  in  $G$ .

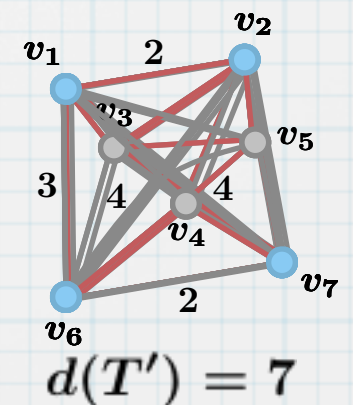
## (1) algorithm graphSteinerTree

- (2)  $W := +\infty$
- (3)  $((d_{i,j}), (p_{i,j})) := \text{floydWarshall}(G)$
- (4) **for**  $i$  **from** 0 **to**  $|R| - 2$  **do**
- (5)     **for** alle  $S' \subseteq S$  mit  $|S'| = i$  **do**
- (6)          $T' := \text{jarnik}(K_V | (R \cup S'), d)$
- (7)         **if**  $d(T') < W$  **then**  $W := d(T'), T := T'$  **end if**
- (8)     **end for**
- (9) **end for**
- (10) **for**  $\{i, j\} \in T$  **do**
- (11)     **if**  $\{i, j\} \notin E$  or  $c_{i,j} > d_{i,j}$  **then**
- (12)          $E(T) := E(T) \setminus \{\{i, j\}\}$
- (13)          $E(T) := E(T) \cup \{\{u, v\} \text{ Kante eines kürzesten } i\text{-}j\text{-Weges in } G\}$
- (14)     **end if**
- (15) **end for**
- (16) **end algorithm**



	$v_1$	$v_2$	$v_3$	$v_4$	$v_5$	$v_6$	$v_7$
$v_1$		2	1			3	
$v_2$	2		1		2		
$v_3$	1	1		3	1	4	
$v_4$			3		1	1	1
$v_5$		2	1	1			2
$v_6$	3		4	1			2
$v_7$				1	2	2	

- $W = \infty$
- $i = 0$
- $S' = \{\}$
- $\{v_1, v_3\}$



# Korrektheit und Komplexität

- \* **Satz 18:**

Lawlers Algorithmus arbeitet korrekt. Seine Laufzeitkomplexität ist in  $O(|V|^3 + 2^{|S|} \cdot |R|^2)$ .

- \* Beweis:

Die Korrektheit folgt unmittelbar aus Satz 16 und dem Beweis von Satz 17.

Der Aufruf des Floyd–Warshall–Algorithmus trägt  $O(|V|^3)$  zur Laufzeit bei.

Jeder Aufruf des Algorithmus von Jarnik (Prim) hat eine Komplexität von  $O(|R|^2)$ , da wegen Satz 16 dieser Algorithmus auf  $O(|R|)$  viele Punkte angewandt wird.

Die Anzahl der Aufruf (Anzahl der Iterationen von Schritt 4 und 5 zusammen) kann abgeschätzt werden durch:

$$\sum_{i=0}^{|R|-2} \binom{|S|}{i} \leq 2^{|S|}.$$

Daraus ergibt sich die Aussage über die Komplexität.

- \* Folgerung: Für eine feste Anzahl von  $|S|$  bzw.  $|R|$  ist das Steinerbaumproblem in Graphen polynomial lösbar (bzw. ist Lawlers Algorithmus effizient).

# Literaturquellen

- \* R.K. Ahuja, T.L. Magnanti, J.B. Orlin, **Network Flows – Theory, Algorithms, and Applications**, Prentice Hall, Upper Saddle River, 1993. (Kapitel 4&5, Seite 93–165)
- \* J. Clark, D.A. Holton, **Graphentheorie**, Spektrum Akademischer Verlag, Heidelberg, 1994. (Kapitel 2, Seite 75–85)
- \* W.J. Cook, W.H. Cunningham, W.R. Pulleyblank, A. Schrijver, **Combinatorial Optimization**, Wiley Interscience, New York, 1998. (Kapitel 2, Seite 19–36)
- \* T.H. Cormen, C.E. Leiserson, R.L. Rivest, C. Stein, **Introduction to Algorithms**, 2nd Edition, McGraw–Hill Book Company, Boston, 2001. (Kapitel 24&25, Seite 580–642)
- \* J. Erickson, **Algorithms**, Lecture Notes, University of Illinois at Urbana–Champaign, 2007. (Kapitel 13&14)
- \* D. Jungnickel: Graphen, **Netzwerke und Algorithmen**, BI Wissenschaftsverlag, Mannheim, 1994. (Kapitel 3, Seite 89–132)
- \* B. Korte, J. Vygen, **Combinatorial Optimization – Theory and Algorithms**, 2nd Edition, Springer Verlag, Berlin, 2001. (Kapitel 7, Seite 139–152)
- \* A. Schrijver, **Combinatorial Optimization – Polyhedra and Efficiency**, Springer Verlag, Berlin, 2003. (Kapitel 6–8, Seite 87–130)